

# Vkládání pomocí Viterbiho algoritmu

Andrew Kozlik

KA MFF UK

# Vkládání pomocí Viterbiho algoritmu

- ▶ Cíl:
  - ▶ Využít teorii konvolučních kódů.
  
- ▶ Motivace:
  - ▶ Viterbiho dekodér je soft-decision dekodér.
  - ▶ Každému prvku nosiče přiřadíme váhu, která udává jeho citlivost na změnu.
  - ▶ Nebudeme nutně minimalizovat počet změn v nosiči, ale celkovou váhu změn.

# Značení

- ▶ Nosič rozdělujeme na bloky  $n$  hodnot z konečného tělesa  $\mathbb{F}_q$ .
- ▶ Rozdíl oproti maticovému vkládání:
  - ▶ Nepracujeme s jednotlivými bloky samostatně.
  - ▶ Sestrojíme z nich posloupnost vektorů  $\{\mathbf{x}_i\}_{i=0}^{\ell-1}$ , kde  $\mathbf{x}_i = (x_i^{(1)}, \dots, x_i^{(n)})^T \in \mathbb{F}_q^n$ .
- ▶ Máme tedy nosič  $\{\mathbf{x}_i\}_{i=0}^{\ell-1}$  a stegoobjekt  $\{\mathbf{y}_i\}_{i=0}^{\ell-1}$ .
- ▶ Zpráva je obecně posloupnost vektorů  $\{\mathbf{z}_i\}_{i=0}^{\ell-1}$ , kde  $\mathbf{z}_i \in \mathbb{F}_q^m$ .
  - ▶ My se omezíme na případ  $m = 1$ .
  - ▶ Zpráva je pak posloupnost jednosložkových vektorů.
  - ▶ Budeme ji psát jako posloupnost skalárů  $\{z_i\}_{i=0}^{\ell-1}$ .

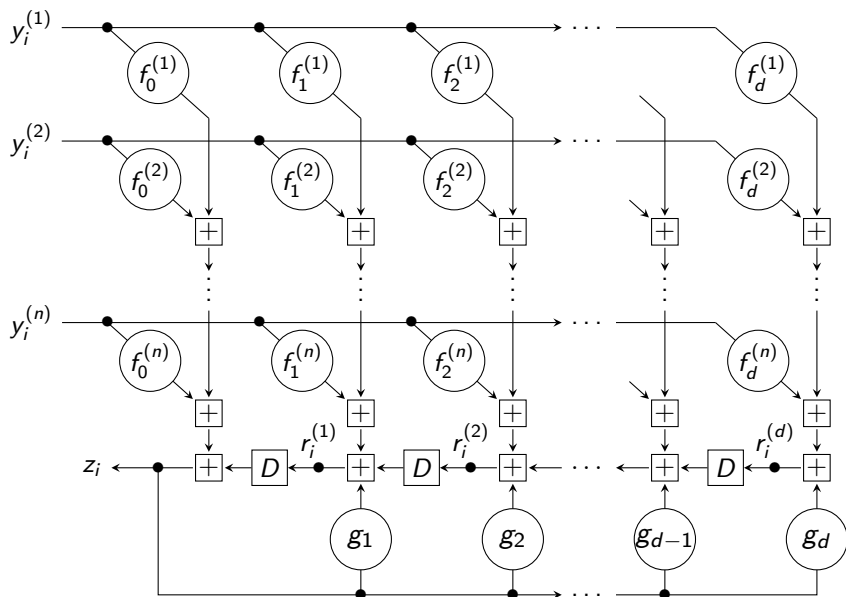
## Proč se omezujeme na $m = 1$ ?

- ▶ Zobecnění pro  $m > 1$  je jednoduché.
- ▶ Složitost Viterbiho algoritmu neúměrně narůstá s  $m$ .
- ▶ Relativní kapacita nosiče je  $\alpha = \frac{m \log_2 q}{n}$ .
- ▶ Čili jsme omezeni na hodnoty tvaru  $\alpha = \frac{\log_2 q}{n}$ .
- ▶ Nevadí. Ve steganografii obvykle cílíme na hodnoty blízké 0.

# Konvoluční extrakce

- ▶ Extrakce zprávy se provádí konvolučním překladačem.
- ▶ Implementace pomocí konvolučního kodéru.
  - ▶ Kontrolorova normální forma:  $n$  paměťových registrů.
  - ▶ Pozorovatelova normální forma:  $m = 1$  paměťový registr.
- ▶  $r_i^{(j)}$  = hodnota  $j$ -té buňky registru na konci  $i$ -tého kroku.
- ▶  $d$  = délka registru.
- ▶  $D$  = operátor zpoždění.
- ▶ Definujeme  $r_0^{(j)} = 0$  pro  $1 \leq j \leq d$ .
- ▶ Hodnoty  $f_j^{(k)} \in \mathbb{F}_q$  a  $g_j \in \mathbb{F}_q$  jsou konstanty a  $g_0 = 0$ .

# Konvoluční extrakce



## Algoritmus (konvoluční extrakce)

**vstup:** stegoobjekt  $\{\mathbf{y}_i\}_{i=0}^{\ell-1}$  z  $\mathbb{F}_q^n$ ,  
parametry  $f_j^{(k)} \in \mathbb{F}_q$  a  $g_j \in \mathbb{F}_q$

**výstup:** zpráva  $\{z_i\}_{i=0}^{\ell-1}$

```
1   $(s_0, \dots, s_d) := (0, \dots, 0)$ 
2  for  $i = 0, \dots, \ell - 1$  do
3    for  $j = 1, \dots, n$  do
4       $(s_0, \dots, s_d) := (s_0, \dots, s_d) + y_i^{(j)}(f_0^{(j)}, \dots, f_d^{(j)})$ 
5       $z_i := s_0$ 
6       $(s_0, \dots, s_d) := (s_0, \dots, s_d) + s_0(g_0, \dots, g_d)$ 
7       $(s_0, \dots, s_d) := (s_1, \dots, s_d, 0)$ 
8  return  $\{z_i\}_{i=0}^{\ell-1}$ 
```

# Vkládání

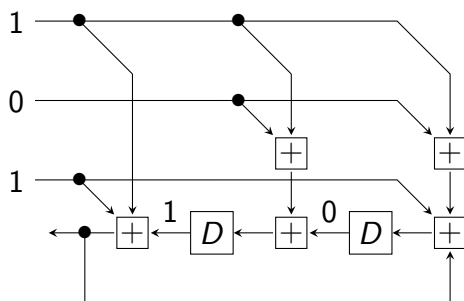
- ▶ Extrakční algoritmus popíšeme jako konečný překladač.
- ▶ Pro tento překladač sestojíme trelážový graf.  
(Graf vývoje stavů v závislosti na vstupu.)
- ▶ Obecně: Cesty v grafu = všechny možné vstupy překladače.
- ▶ Náš trik: Graf sestavíme tak, aby obsahoval pouze ty cesty (vstupy), jejichž výstupem je zpráva, kterou chceme vložit.
- ▶ Tyto cesty jsou kandidátky na stegoobjekt.
- ▶ Viterbiho algoritmus potom najde cestu, která se nejméně liší od nosiče, resp. má nejmenší váhu (distorzi).





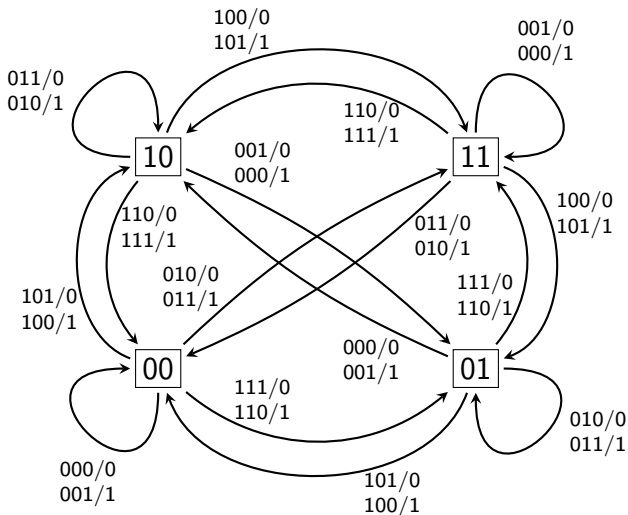
# Příklad

- ▶ Ukázka přechodu automatu:
  - ▶ Počáteční stav  $r_{i-1}^{(1)} r_{i-1}^{(2)} = 10$ . Vstup  $\mathbf{y}_i = (1, 0, 1)^T$ .
  - ▶ Výsledný stav  $r_i^{(1)} r_i^{(2)} = 11$ . Výstup  $z_i = 1$ .
  - ▶ Zápis:  $\boxed{10} \xrightarrow{101/1} \boxed{11}$



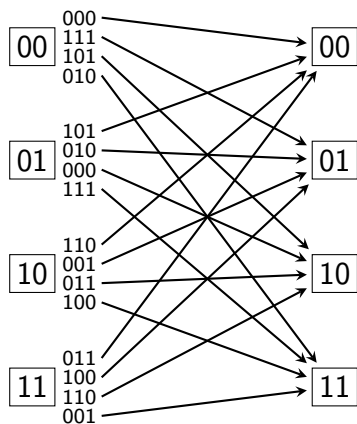


# Příslušný konečný překladač

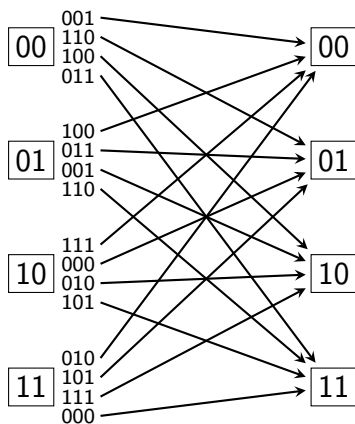


# Trelážové moduly

Přechody rozdělíme do dvou trelážových modulů podle jejich výstupních hodnot.



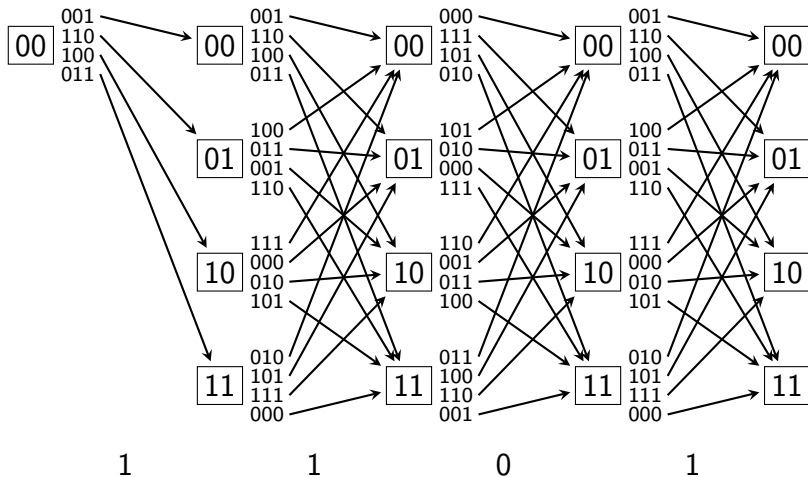
Výstup 0



Výstup 1

# Treláž pro vložení zprávy 1101

V závislosti na zprávě pospojujeme moduly do treláže.



Viterbiho algoritmus najde cestu treláží, která se nejvíce „podobá“ nosiči.

## Rozdíly oproti treláži pro dekódování kódů

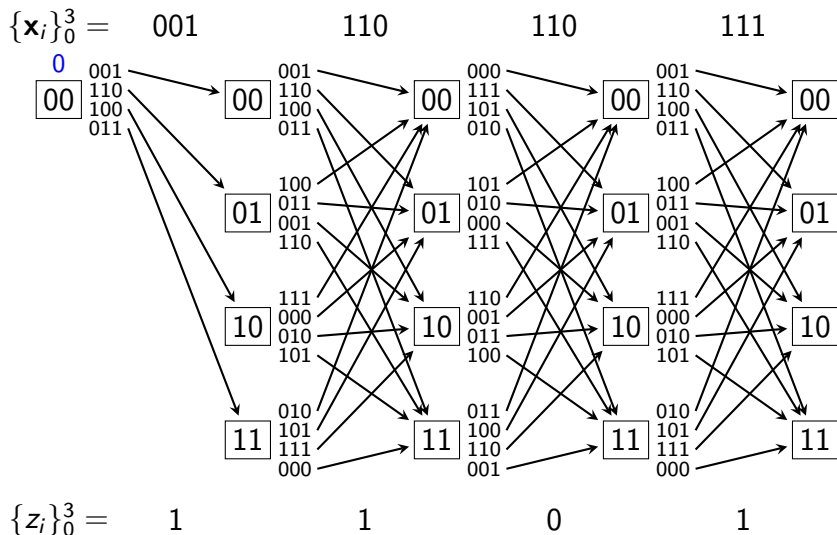
- ▶ Treláž se skládá z různých modulů v závislosti na zprávě.
- ▶ Nevyžadujeme, aby překladač skončil v nulovém stavu.
- ▶ Hrany označujeme vstupními hodnotami překladače místo výstupních hodnot.
  - ▶ Vkládač: Upravuje vstup, aby dosáhl požadovaný výstup.
  - ▶ Dekodér: Upravuje poškozený výstup, aby dosáhl platný výstup.
- ▶ Vstup překladače je delší než výstup.
  - ▶ Konvoluční extraktor:  $n \geq m$ .
  - ▶ Konvoluční kodér:  $n \leq m$ .

# Viterbiho algoritmus

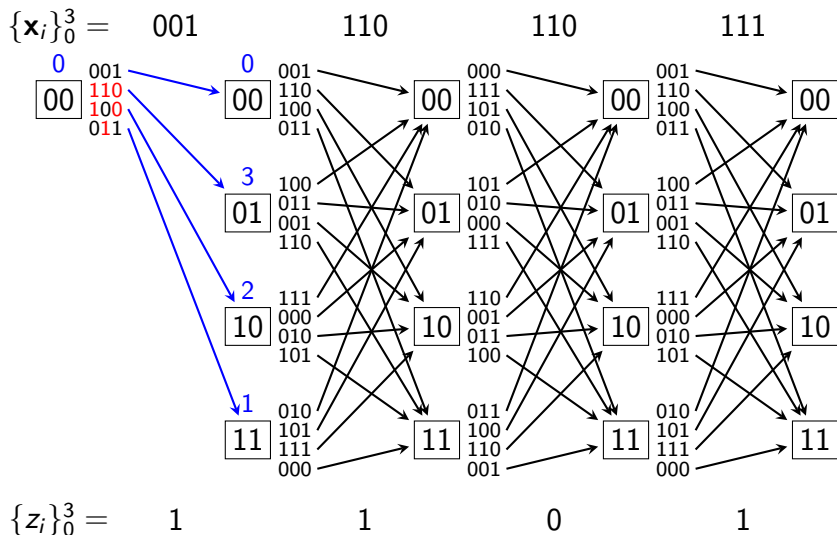
- ▶ V první fázi procházíme treláž zleva doprava, tj. pro  $i = 0, \dots, \ell - 1$ .
  - ▶ Pro každé  $i$  máme až  $q^d$  možných stavů překladače.
  - ▶ Pro každý z těchto stavů spočítáme váhu nejlehčí cesty, která do něho vede, a zaznamenáme poslední hranu cesty.
- ▶ Jakmile dojdeme na konec treláže, vybereme stav, do kterého vede nejlehčí cesta.
- ▶ Zpětným průchodem tuto cestu zrekonstruujeme.
- ▶ Průběh algoritmu si předvedeme na příkladu nosiče  $\{\mathbf{x}_i\}_{i=0}^3 = \{(0, 0, 1)^T, (1, 1, 0)^T, (1, 1, 0)^T, (1, 1, 1)^T\}$
- ▶ Používáme Hammingovu metriku.



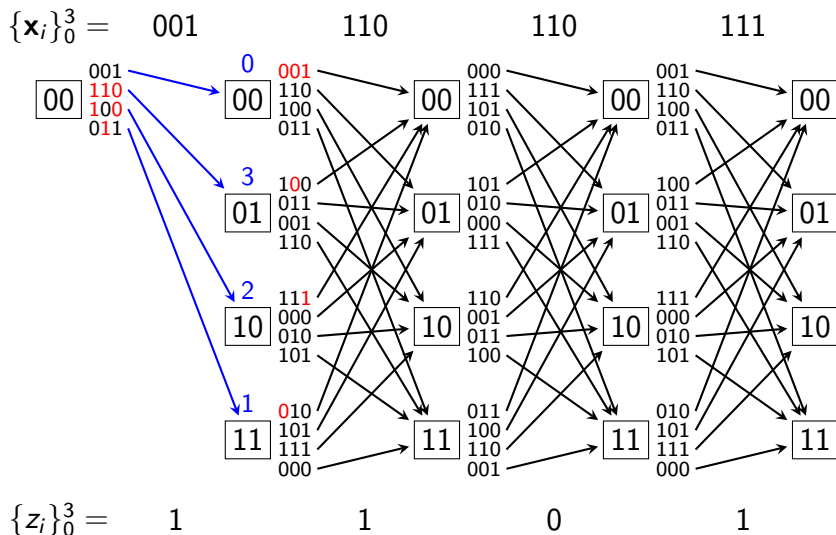
# Viterbiho algoritmus



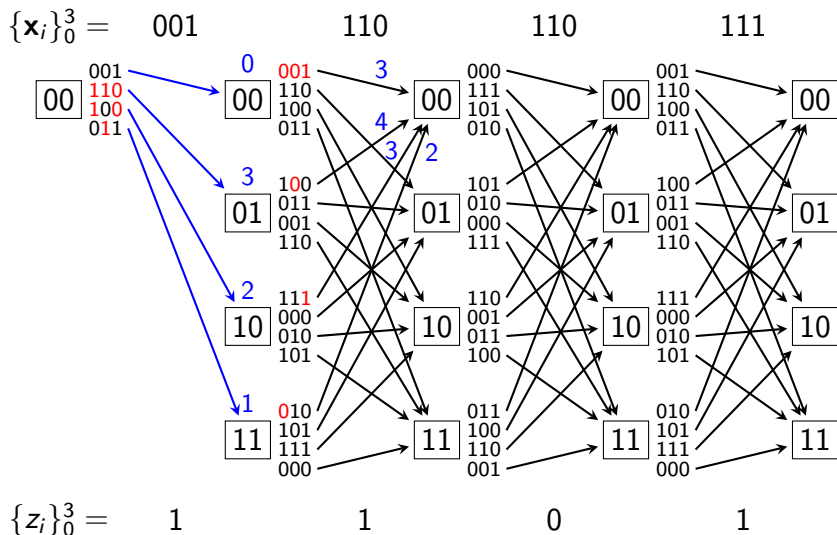
# Viterbiho algoritmus



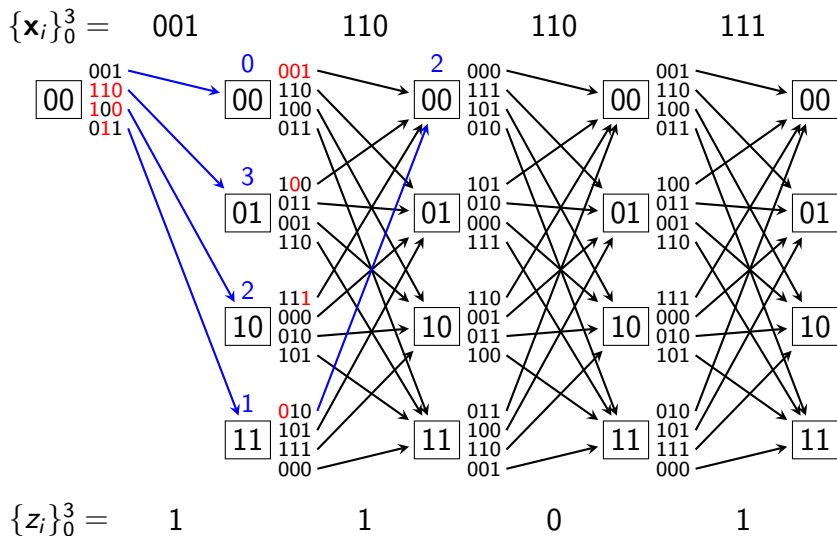
# Viterbiho algoritmus



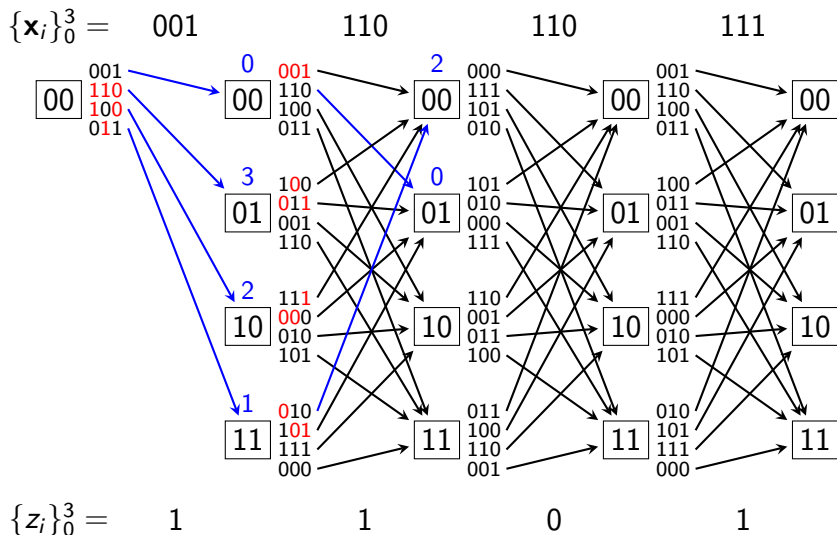
# Viterbiho algoritmus



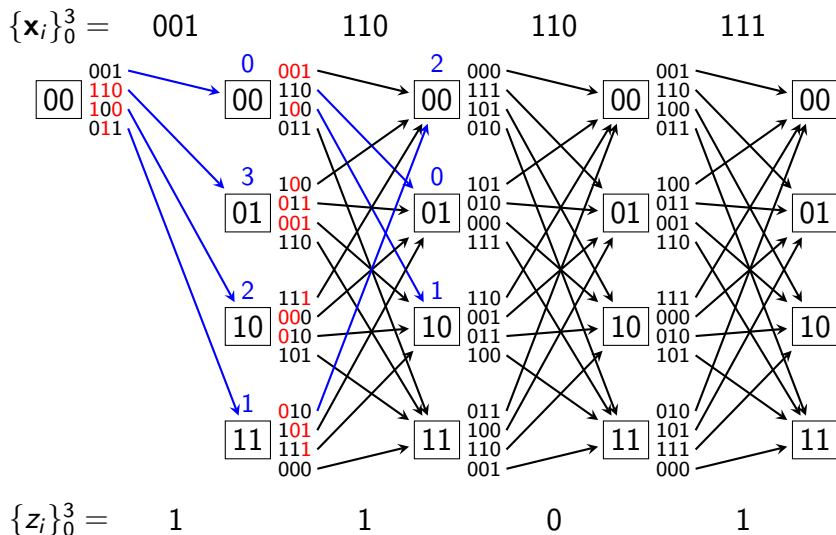
# Viterbiho algoritmus



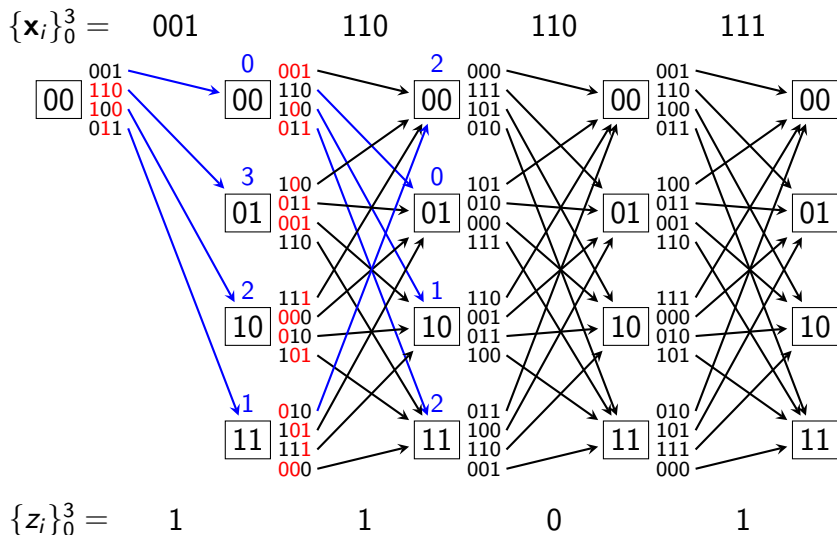
# Viterbiho algoritmus



# Viterbiho algoritmus

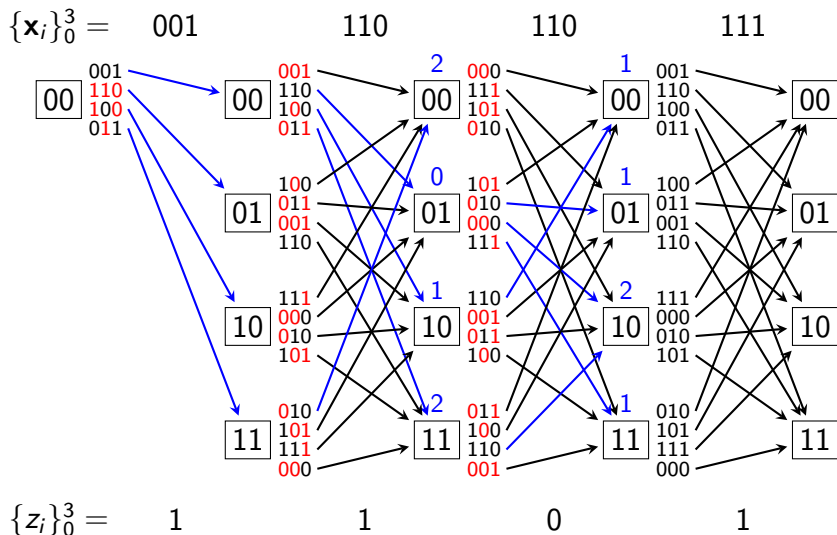


# Viterbiho algoritmus

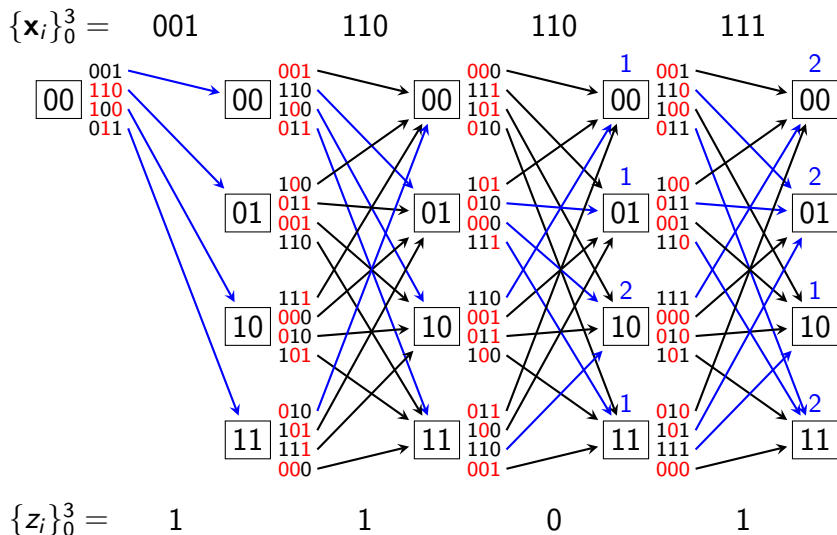




# Viterbiho algoritmus



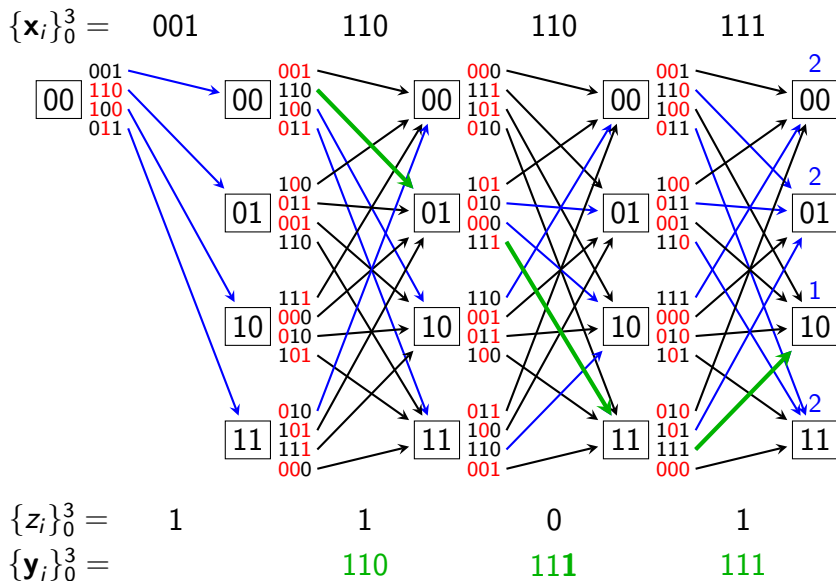
# Viterbiho algoritmus



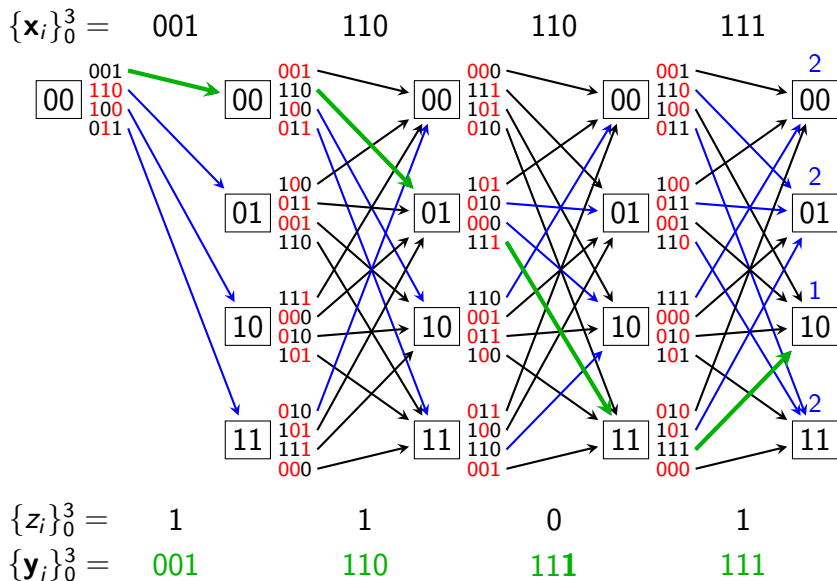




# Viterbiho algoritmus



# Viterbiho algoritmus



# Časová složitost algoritmu

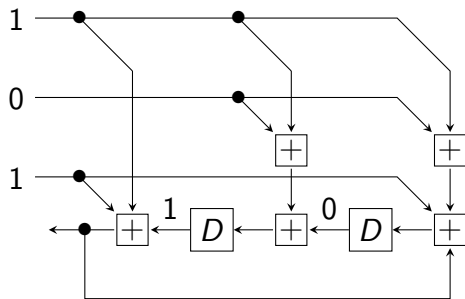
- ▶ Procházíme  $\ell$  modulů zleva doprava.
- ▶ V každém modulu projdeme (až)  $q^d$  stavů a spočítáme váhu nejlehčí cesty, která do každého stavu vede.
  - ▶ Pro každý stav tedy zvážíme všechny vstupující hrany.
  - ▶ Do každého stavu vede v průměru  $\frac{1}{q} \cdot q^n$  hran.
  - ▶ Zvážení jedné hrany vyžaduje  $O(n)$  porovnání.
- ▶ Zpětný průchod má složitost  $O(n)$  operací. (Zanedbatelné.)
- ▶ Časová složitost algoritmu je  $O(q^{d+n-1}\ell n)$  porovnání.
- ▶ Složitost ještě vylepšíme na  $O(q^{d+2}\ell n)$  vektorových operací tak, že rozvineme treláž.

# Rozvinutí modulů

- ▶ Každý přechod automatu rozvineme na  $n + 1$  podkroků.
- ▶ Čili každý modul rozvineme na  $n + 1$  podmodulů.
- ▶ Připomeňme algoritmus konvoluční extrakce:
  - 1  $(s_0, \dots, s_d) := (0, \dots, 0)$
  - 2 **for**  $i = 0, \dots, \ell - 1$  **do**
  - 3     **for**  $j = 1, \dots, n$  **do**
  - 4          $(s_0, \dots, s_d) := (s_0, \dots, s_d) + y_i^{(j)}(f_0^{(j)}, \dots, f_d^{(j)})$
  - 5          $z_i := s_0$
  - 6          $(s_0, \dots, s_d) := (s_0, \dots, s_d) + s_0(g_0, \dots, g_d)$
  - 7          $(s_0, \dots, s_d) := (s_1, \dots, s_d, 0)$
  - 8 **return**  $\{z_i\}_{i=0}^{\ell-1}$



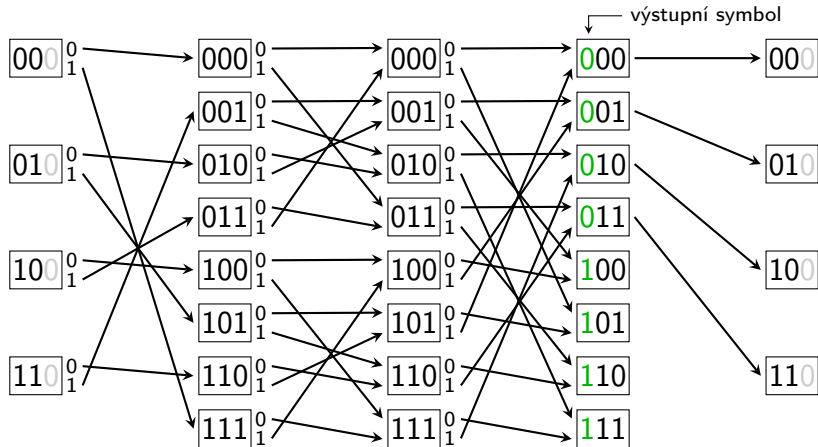
## Příklad: Rozvinutí přechodu automatu



Na počátku máme  $(s_0, s_1, s_2) = (1, 0, 0)$ . Podkroky pak jsou:

1.  $(s_0, s_1, s_2) := (s_0, s_1, s_2) + \mathbf{1}(1, 1, 1) = (0, 1, 1)$
2.  $(s_0, s_1, s_2) := (s_0, s_1, s_2) + \mathbf{0}(0, 1, 1) = (0, 1, 1)$
3.  $(s_0, s_1, s_2) := (s_0, s_1, s_2) + \mathbf{1}(1, 0, 1) = (1, 1, 0)$
4.  $(s_0, s_1, s_2) := (s_0, s_1, s_2) + \mathbf{1}(0, 0, 1) = (1, 1, 1)$   
 $(s_0, s_1, s_2) := (s_1, s_2, 0) = (1, 1, 0)$

# Rozvinutí modulu s výstupem 0



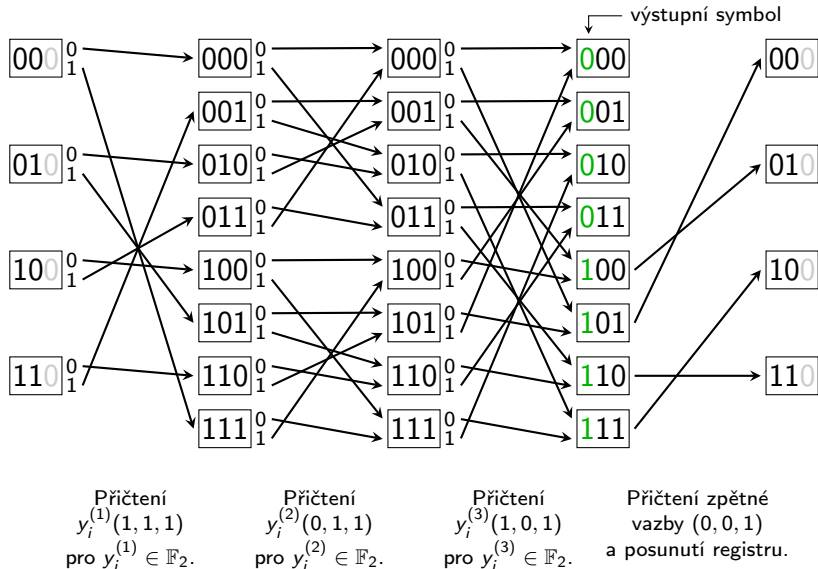
Přičtení  
 $y_i^{(1)}(1, 1, 1)$   
 pro  $y_i^{(1)} \in \mathbb{F}_2$ .

Přičtení  
 $y_i^{(2)}(0, 1, 1)$   
 pro  $y_i^{(2)} \in \mathbb{F}_2$ .

Přičtení  
 $y_i^{(3)}(1, 0, 1)$   
 pro  $y_i^{(3)} \in \mathbb{F}_2$ .

Posunutí registru.

# Rozvinutí modulu s výstupem 1



# Rozvinutá treláž a distorzní funkce

- ▶ Trelážové moduly nahradíme jejich rozvinutými verzemi.
- ▶ Viterbiho algoritmus najde cestu rozvinutou treláží, která se nejvíce „podobá“ nosiči.
- ▶ Algoritmus umí zohlednit váhy jednotlivých změn v nosiči.
- ▶ Ke každému prvku nosiče  $x_i^{(j)}$  přiřazujeme distorzní funkci  $\rho_i^{(j)} : \mathbb{F}_q \rightarrow \mathbb{R}$ .
- ▶ Hodnota  $\rho_i^{(j)}(a)$  udává, jak moc by přispělo nastavení  $y_i^{(j)} = a$  ve stegoobjektu k celkové distorzi vyvolané vkládáním.

## Příklady distrozních funkcí

- ▶ Chceme-li Hammingovu metriku, definujeme

$$\rho_i^{(j)}(a) = \begin{cases} 0, & \text{jestliže } a = x_i^{(j)}, \\ 1, & \text{jestliže } a \neq x_i^{(j)}. \end{cases}$$

- ▶ Pro psaní na mokrý papír definujeme

$$\rho_i^{(j)}(a) = \begin{cases} \infty, & \text{jestliže prvek na } j\text{-té pozici v } i\text{-tém bloku} \\ & \text{je mokrý a zároveň } a \neq x_i^{(j)}, \\ 0 & \text{jinak.} \end{cases}$$

- ▶ Pro vkládání při kvantizaci definujeme

$$\rho_i^{(j)}(a) = (\text{distorze při vložení } a) - (\text{distorze při zaokrouhlení}).$$

## Algoritmus (vkládání pomocí Viterbiho algoritmu)

**vstup:**     distorzní funkce prvků nosiče  $\{\rho_i\}_{i=0}^{\ell-1}$ , zpráva  $\{z_i\}_{i=0}^{\ell-1}$  nad  $\mathbb{F}_q$ ,  
parametry  $f_j^{(k)} \in \mathbb{F}_q$  a  $g_j \in \mathbb{F}_q$

**výstup:**   stegoobjekt  $\{y_i\}_{i=0}^{\ell-1}$

— Inicializace.

1   **for**  $\mathbf{s} \in \mathbb{F}_q^{d+1} \setminus \{\mathbf{0}\}$  **do**

2      $w[\mathbf{s}] := \infty$

3      $w[\mathbf{0}] := 0$

— Dopředný průchod trelláží.

4   **for**  $i = 0, \dots, \ell - 1$  **do**

5     **for**  $j = 1, \dots, n$  **do**

6       **for**  $\mathbf{s} \in \mathbb{F}_q^{d+1}$  **do**

7           $path_i^{(j)}[\mathbf{s}] := \arg \min_{a \in \mathbb{F}_q} w[\mathbf{s} - a(f_0^{(j)}, \dots, f_d^{(j)})] + \rho_i^{(j)}(a)$

8           $w'[\mathbf{s}] := \min_{a \in \mathbb{F}_q} w[\mathbf{s} - a(f_0^{(j)}, \dots, f_d^{(j)})] + \rho_i^{(j)}(a)$

9           $w := w'$

10    **for**  $(s_0, \dots, s_{d-1}) \in \mathbb{F}_q^d$  **do**

11      $w'[(s_0, \dots, s_{d-1}, 0)] := w[(z_i, s_0, \dots, s_{d-1}) - z_i(g^{(1)}, \dots, g^{(n)})]$

12     **for**  $s_d \in \mathbb{F}_q \setminus \{0\}$  **do**

13        $w'[(s_0, \dots, s_d)] := \infty$

14      $w := w'$

## Algoritmus (pokračování)

— Volba stavu, ve kterém končí nejlehčí cesta.

15  $(s_0, \dots, s_d) := \arg \min_{s' \in \mathbb{F}_q^{d+1}} w[s']$

— Rekonstrukce nejlehčí cesty zpětným průchodem treláže.

16 **for**  $i = \ell - 1, \dots, 0$  **do**

17  $(s_0, s_1, \dots, s_d) := (z_i, s_0, \dots, s_{d-1}) - z_i(g_1, \dots, g_n)$

18 **for**  $j = n, \dots, 1$  **do**

19  $y_i^{(j)} := \text{path}_i^{(j)}[(s_0, \dots, s_d)]$

20  $(s_0, \dots, s_d) = (s_0, \dots, s_d) - y_i^{(j)}(f_0^{(j)}, \dots, f_d^{(j)})$

21 **return**  $\{y_i\}_{i=0}^{\ell-1}$

►  $w[\mathbf{s}] =$  váha nejlehčí cesty, která vede do  $\mathbf{s}$ .

►  $\text{path}_i^{(j)}[\mathbf{s}] =$  poslední hrana nejlehčí cesty, která vede do  $\mathbf{s}$ .

# Složitost algoritmu

- ▶ Nejčastěji jsou volány instrukce na řádcích 7 a 8, celkem  $(\ell n q^{d+1})$ -krát.
- ▶ Instrukce na řádku 7 provádí  $q$ -krát:
  - ▶ vektorovou operaci (nejdražší),
  - ▶ nahlédnutí do paměti,
  - ▶ volání  $\rho_i^{(j)}(a)$  (předpokládáme v konstantním čase),
  - ▶ porovnání.
- ▶ Časová složitost:  $O(q^{d+2} \ell n)$  vektorových operací.
- ▶ Obvykle stačí specializace algoritmu pro  $q = 2$ , kterou lze implementovat pomocí operací XOR.
- ▶ V poli *path* ukládáme  $q^{d+1} \ell n$  prvků tělesa  $\mathbb{F}_q$ .
- ▶ Paměťová složitost:  $O(q^{d+1} \ell n \log q)$  bitů.



## Výsledky několika experimentů

- ▶ Stegosystém popsaný v příkladu dosahuje efektivity  $e = 3,87$ , přičemž  $\alpha = 1/3$ .
- ▶ Toto velmi dobře odpovídá efektivitě Hammingových kódů v dané oblasti.
- ▶ Použijeme-li větší registr lze dosáhnout lepších výsledků.
- ▶ Např.  $d = 10$ , pak pro  $\alpha = 1/3$  lze dosáhnout efektivity 4,94.
- ▶ Přítomnost zpětné vazby  $g(D)$  nevedla k měřitelnému zlepšení efektivity vkládání.